６－５　東海・関東・伊豆地域における地下水等観測結果 (2014 年 5 月～ 2014 年 10 月)(50)

The Variation of the Groundwater Level, Discharge Rate, Tilt meter, Three-Component Strain, and Subsidence in the Tokai, Kanto District and Izu Peninsula, Japan. (from May 2014 to Oct. 2014) (50)

産業技術総合研究所
Geological Survey of Japan, AIST

2014 年 5 月～ 2014 年 10 月の半年間の東海・関東・伊豆地域の地下水等の観測結果を報告する．本報告では，観測井配置図（第 1 図）の図中の枠で示す 4 地域および第 2 図に示す地域に分けて表示する．6 ヶ月間のデータを 3 ヶ月毎に示すとともに 2 年間の観測データを参考として示す（ー第 3 ～ 20 図）．また，浜岡・掛川における沈下等の観測結果（第 21，22 図）についても示す．なお図中の印で，$ は保守を，＊は雨量補正不十分を，@ は解析による見かけ上のギャップを，# はバッテリー消耗を，？は原因不明をそれぞれ表す．

東海地域中部：2014 年 5 月から 7 月まで静岡栗原 1 の水位にほとんど変化がないのは井戸口から水が溢れているためと思われる．2014 年 10 月上旬と中旬の台風による大雨で，静岡栗原 1 の水位が急増しているが，これは孔口から溢れた水がマンホール内にたまったためだと思われる．

東海地域南部：2014 年 6 月前半からガス量が変化してそれが水位にも影響しているように見える．

東海地域西部：特記すべき変化はない．

伊豆半島東部地域：松原 174 号井は静岡県による観測．松原 174 の水位計が長期的にドリフト（見かけ上水位増）していることが分かったので，2014 年 7 月 4 日に新たに水位計を設置して平行観測している．グラフでは新水位計の出力（生データ）と BAYTAP による補正値を描いている．

関東地域：つくば 2,3,4 の水位が例年春から秋に低下するのは，周囲の揚水によると考えられる．つくば 3 の水位が 2014 年 10 月 7 ～ 16 日に異常なのは，データロガーの不良のためと考えられる．

これらのデータは WellWeb (http://www.gsj.jp/wellweb) にて公開している．

（高橋　誠・小泉尚嗣・松本則夫・北川有一・板場智史・落　唯史・佐藤　努）

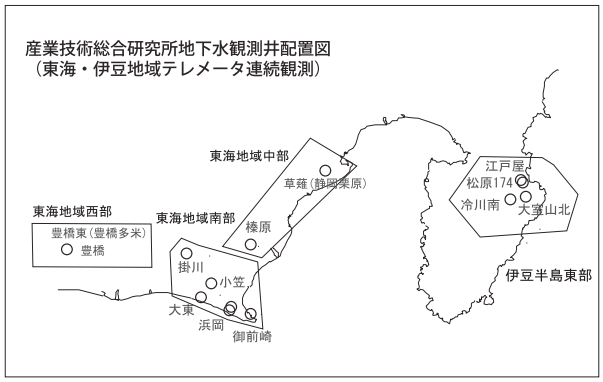

第1図　伊豆・東海地域の産業技術総合研究所地下水等観測井の配置図

Fig.1　Location of the groundwater observation wells in and around the Tokai and Izu district.

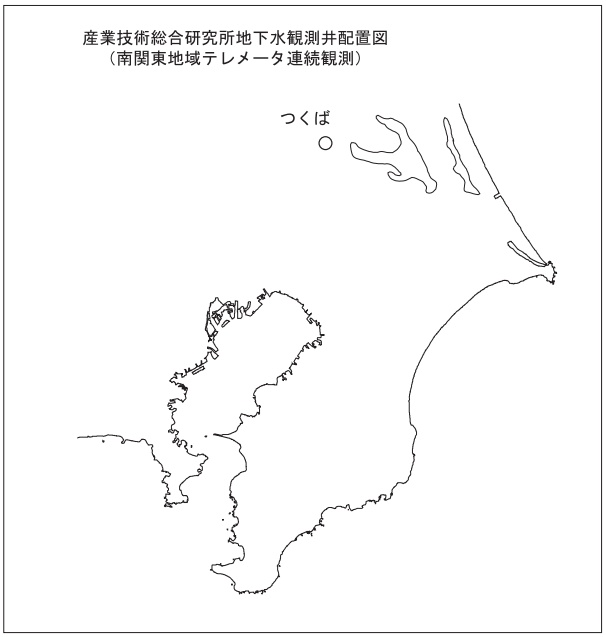

第2図　関東地域の産業技術総合研究所地下水等観測井の配置図

Fig.2　Location of the groundwater observation wells in the Kanto district.

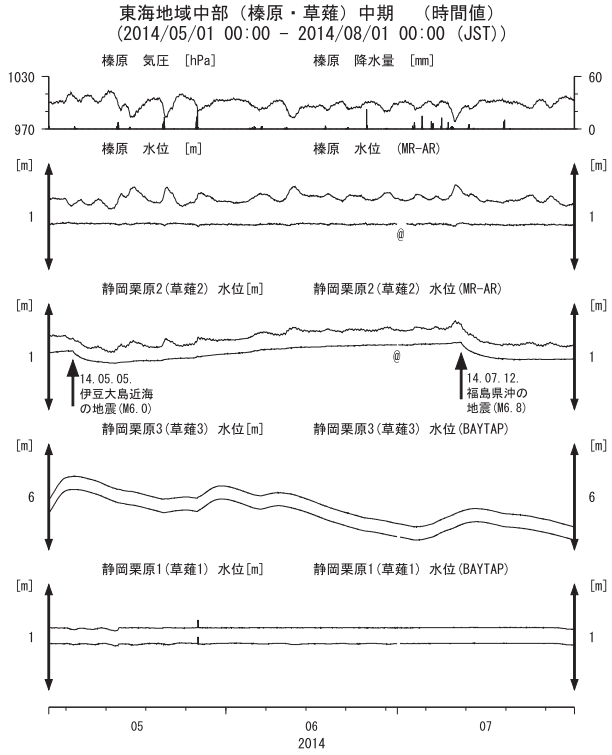

第3図　東海地域中部の地下水等の観測結果(2014年5月～2014年7月)

Fig.3　Observed groundwater levels and others in the central Tokai district from May 2014 to Jul. 2014.

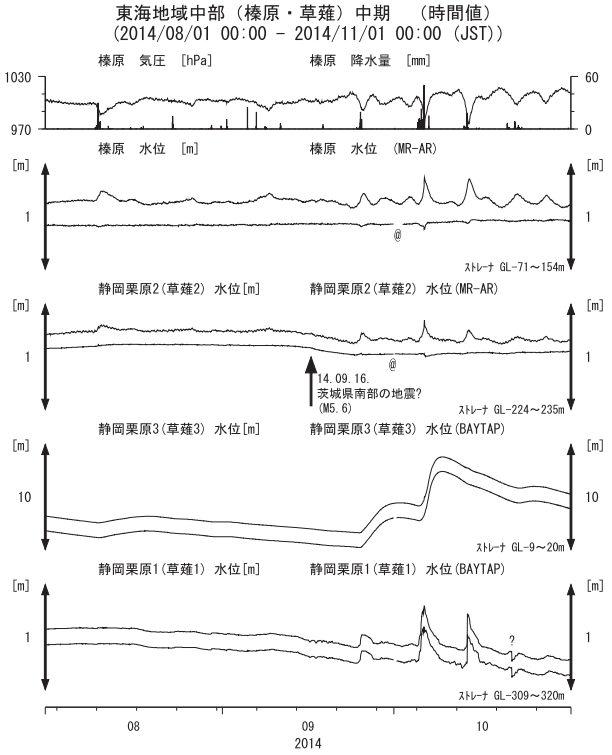

第4図　東海地域中部の地下水等の観測結果(2014年8月～2014年10月)

Fig.4　Observed groundwater levels and others in the central Tokai district from Aug. 2014 to Oct. 2014.

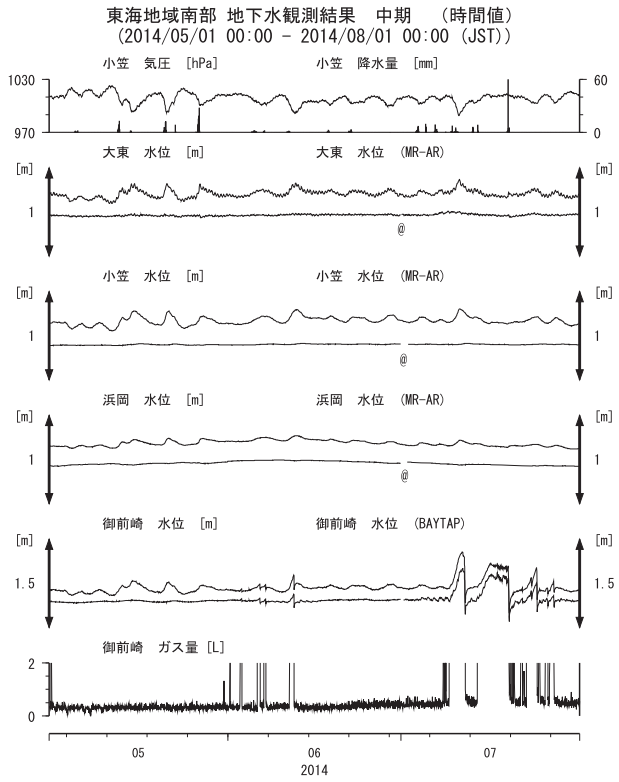

第5図 東海地域南部の地下水等の観測結果(2014年5月～2014年7月)

Fig.5 Observed groundwater levels and others in the southern Tokai district from May 2014 to Jul. 2014.

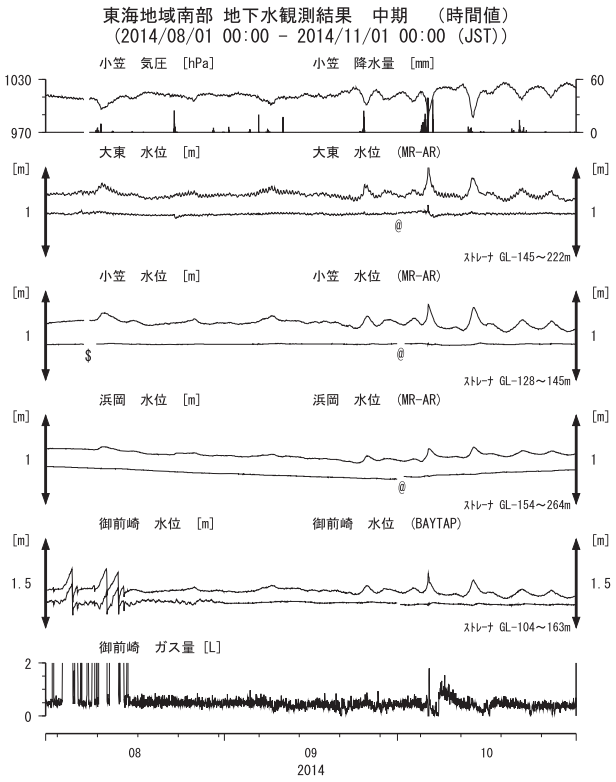

第6図 東海地域南部の地下水等の観測結果(2014年8月～2014年10月)

Fig.6 Observed groundwater levels and others in the southern Tokai district from Aug. 2014 to Oct. 2014.

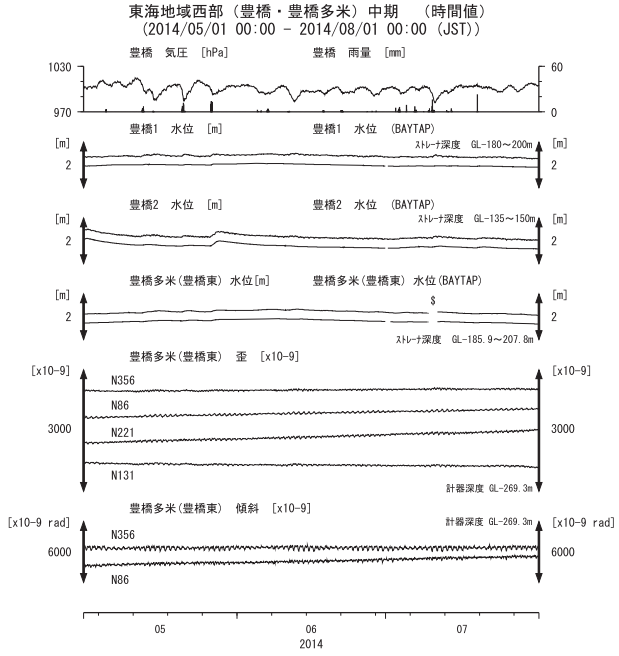

第7図 東海地域西部(豊橋・豊橋多米)の地下水等の観測結果(2014年5月～2014年7月)

Fig.7 Observed groundwater levels and others at the Toyohashi and Toyohashi-tame observation sites from May 2014 to Jul. 2014.

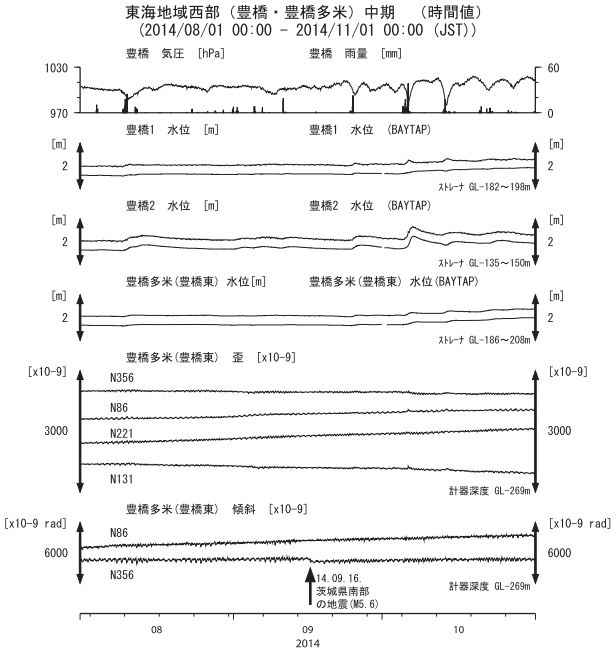

第8図 東海地域西部(豊橋・豊橋多米)の地下水等の観測結果(2014年8月～2014年10月)

Fig.8 Observed groundwater levels and others at the Toyohashi and Toyohashi-tame observation sites from Aug. 2014 to Oct. 2014.

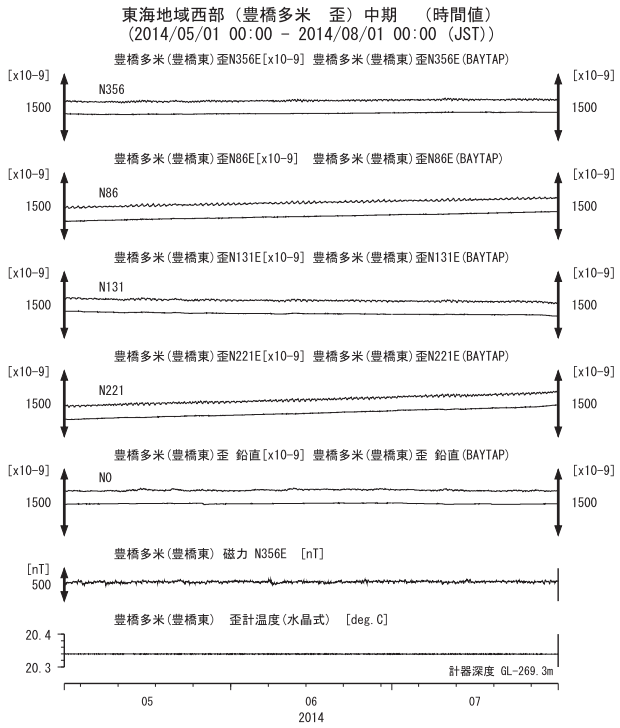

第9図　東海地域西部(豊橋多米)の歪等の観測結果(2014年5月～2014年7月)

Fig.9　Observed strain and others at the Toyohashi- tame observation site from May 2014 to Jul. 2014.

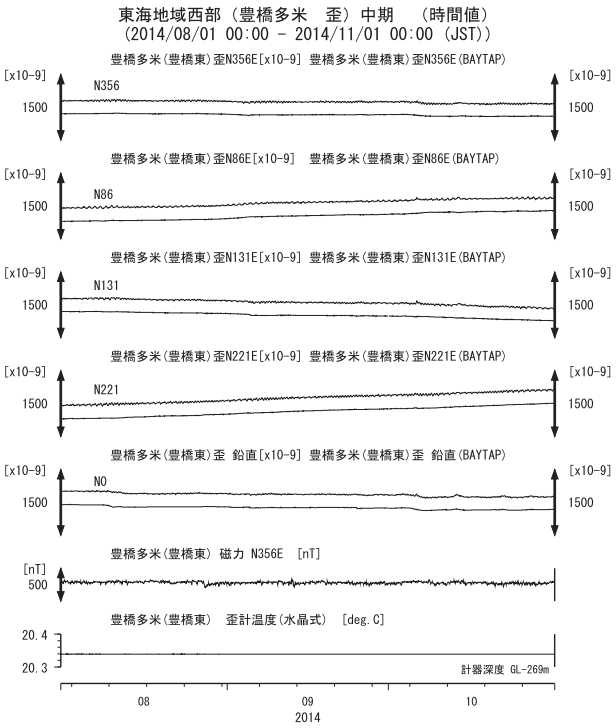

第10図　東海地域西部(豊橋多米)の歪等の観測結果(2014年8月～2014年10月)

Fig.10　Observed strain and others at the Toyohashi- tame observation site from Aug. 2014 to Oct. 2014.

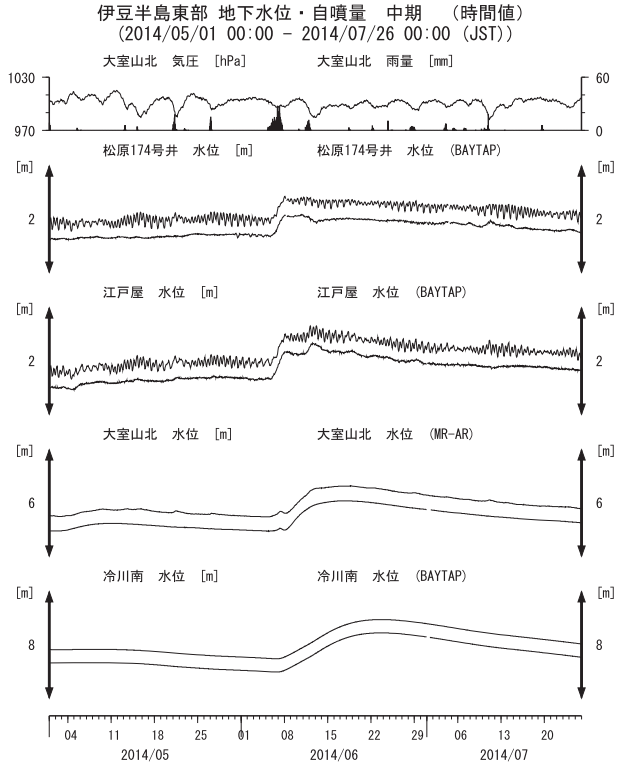

第11図　伊豆半島東部の地下水等の観測結果(2014年5月～2014年7月)

Fig.11　Observed groundwater levels and others in the eastern Izu peninsula district from May 2014 to Jul. 2014.

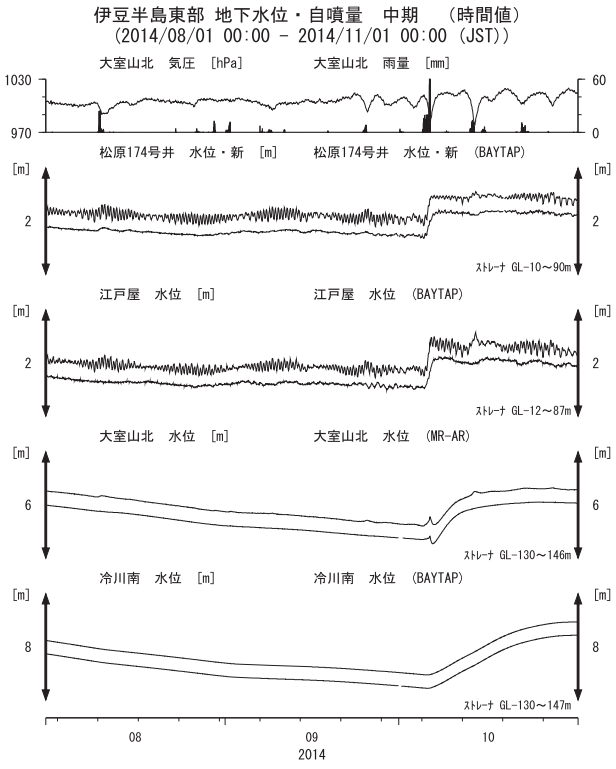

第12図　伊豆半島東部の地下水等の観測結果(2014年8月～2014年10月)

Fig.12　Observed groundwater levels and others in the eastern Izu peninsula district from Aug. 2014 to Oct. 2014.

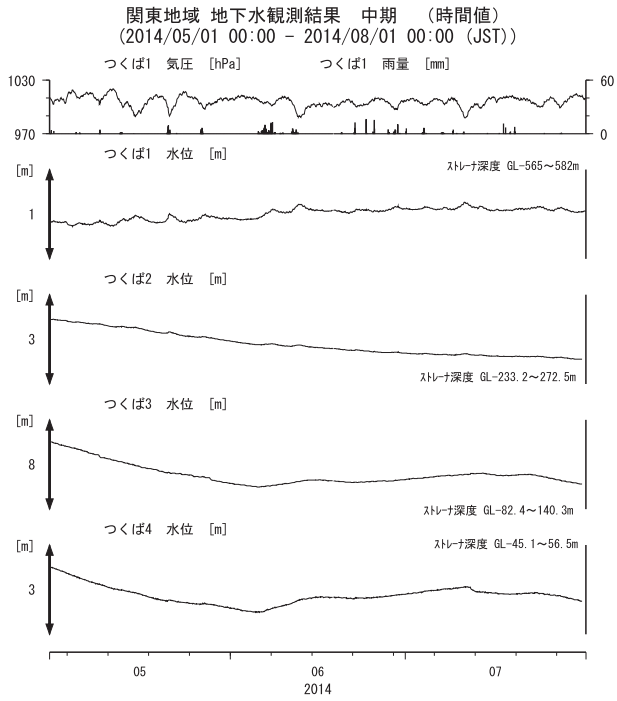

第13図 関東地域の地下水等の観測結果(2014年5月～2014年7月)

Fig.13 Observed groundwater levels and others in the Kanto district from May 2014 to Jul. 2014.

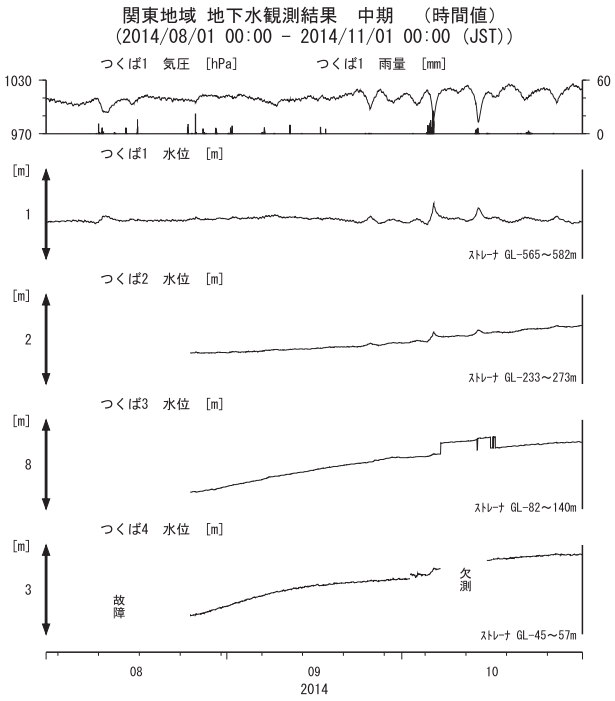

第14図 関東地域の地下水等の観測結果(2014年8月～2014年10月)

Fig.14 Observed groundwater levels and others in the Kanto district from Aug. 2014 to Oct. 2014.

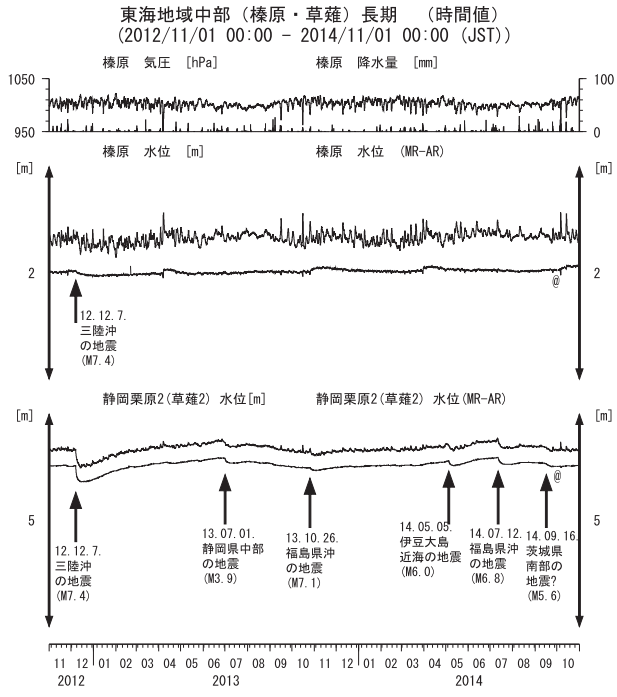

第15図 東海地域中部の地下水等の観測結果(2012年11月～2014年10月)

Fig.15 Observed groundwater levels and others in the central Tokai district from Nov. 2012 to Oct. 2014.

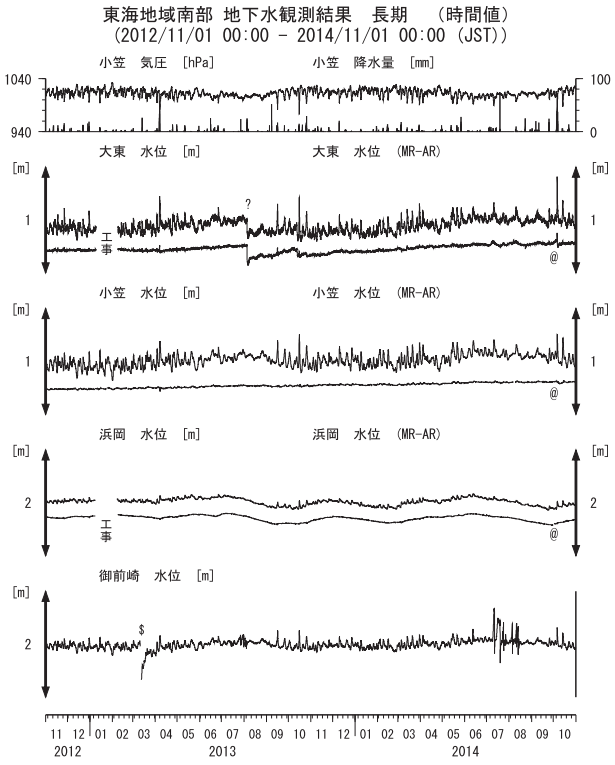

第16図 東海地域南部の地下水等の観測結果(2012年11月～2014年10月)

Fig.16 Observed groundwater levels and others in the southern Tokai district from Nov. 2012 to Oct. 2014.

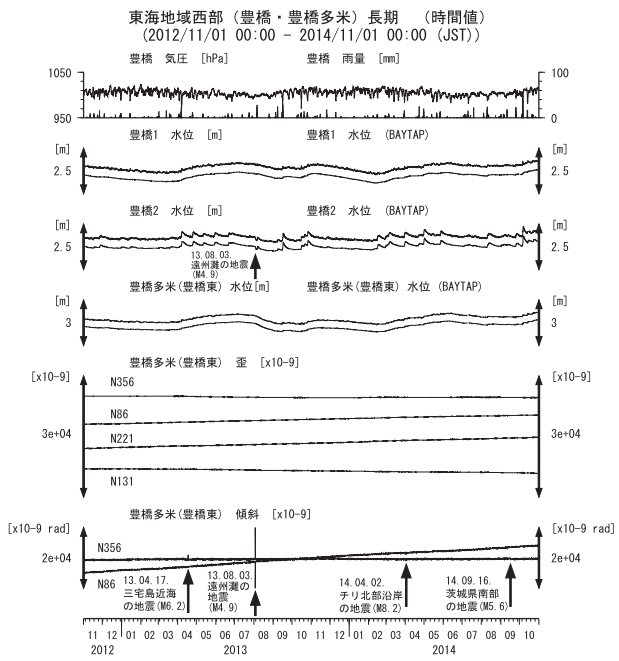

第17図　東海地域西部(豊橋・豊橋多米)の地下水等の観測結果(2012年11月～2014年10月)

Fig.17　Observed groundwater levels and others at the Toyohashi and Toyohashi-tame observation sitesin the western Tokai district from Nov. 2012 to Oct. 2014.

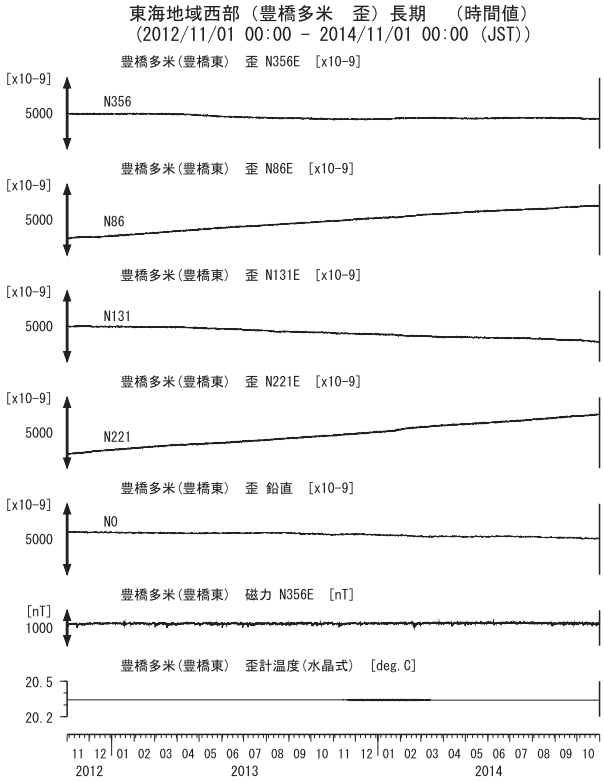

第18図　東海地域西部(豊橋多米)の歪等の観測結果(2012年11月～2014年10月)

Fig.18　Observed strain and others at the Toyohashi-tame observation site from Nov. 2012 to Oct. 2014.

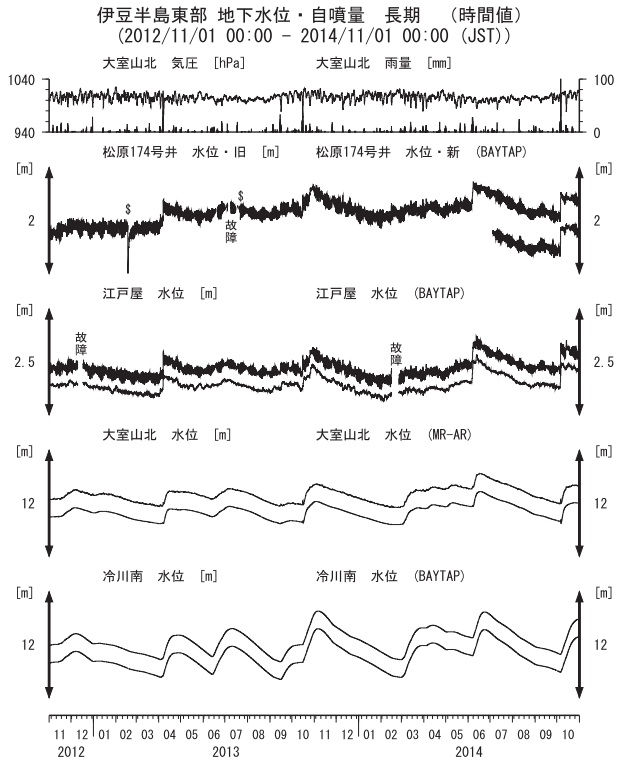

第19図　伊豆半島東部の地下水等の観測結果(2012年11月～2014年10月)

Fig.19　Observed groundwater levels and others in the eastern Izu peninsula from Nov. 2012 to Oct. 2014.

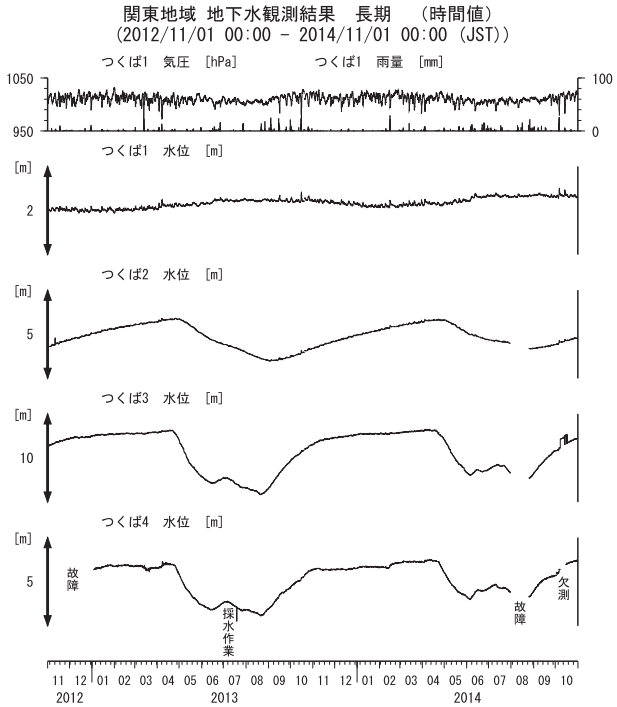

第20図　関東地域の地下水等の観測結果(2012年11月～2014年10月)

Fig.20　Observed groundwater levels and others in the Kanto district from Nov. 2012 to Oct. 2014.

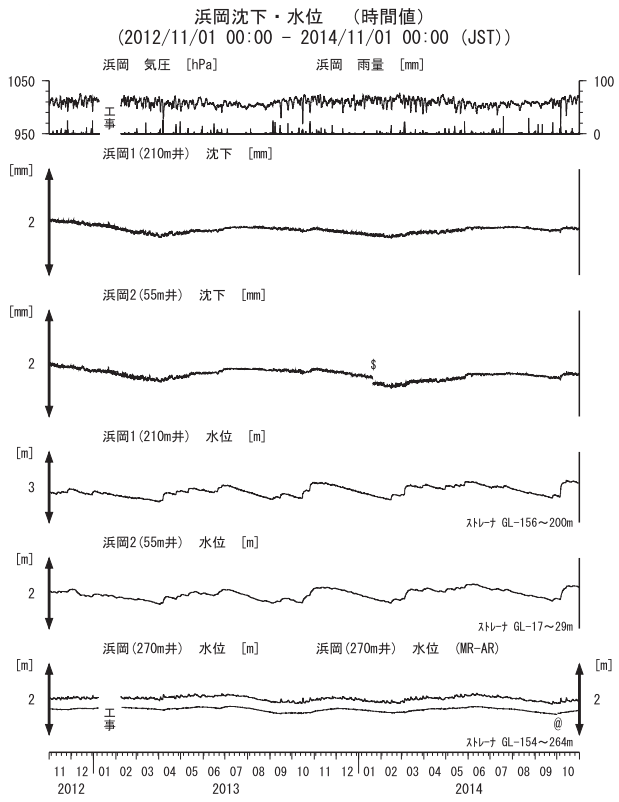

第21図　浜岡における沈下等の観測結果(2012年11月～2014年10月)

Fig.21　Observed subsidence data and others at the Hamaoka observation well from Nov. 2012 to Oct. 2014.

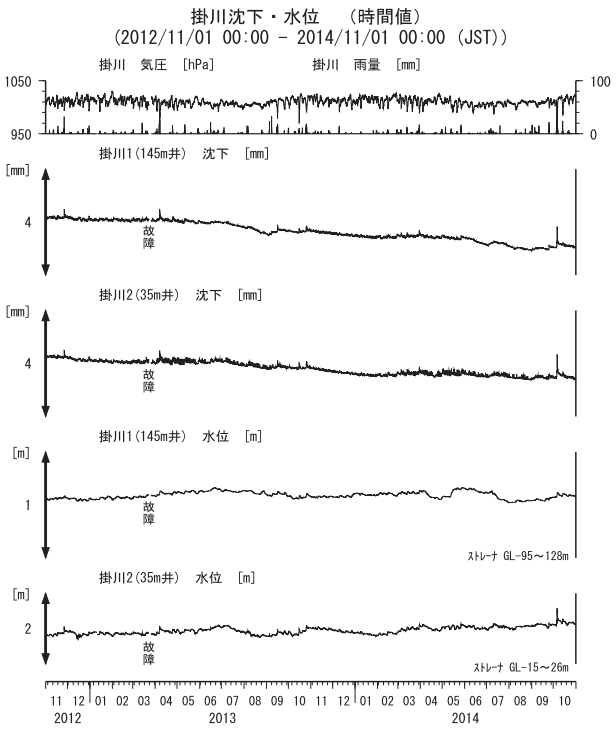

第22図　掛川における沈下等の観測結果(2012年11月～2014年10月)

Fig.22　Observed subsidence data and others at the Kakegawa observation well from Nov. 2012 to Oct. 2014.